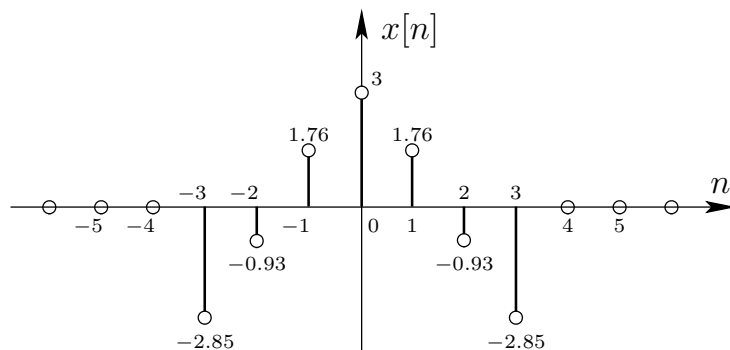
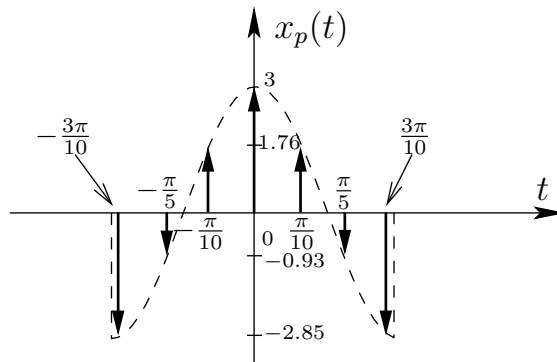


SISTEMAS LINEALES

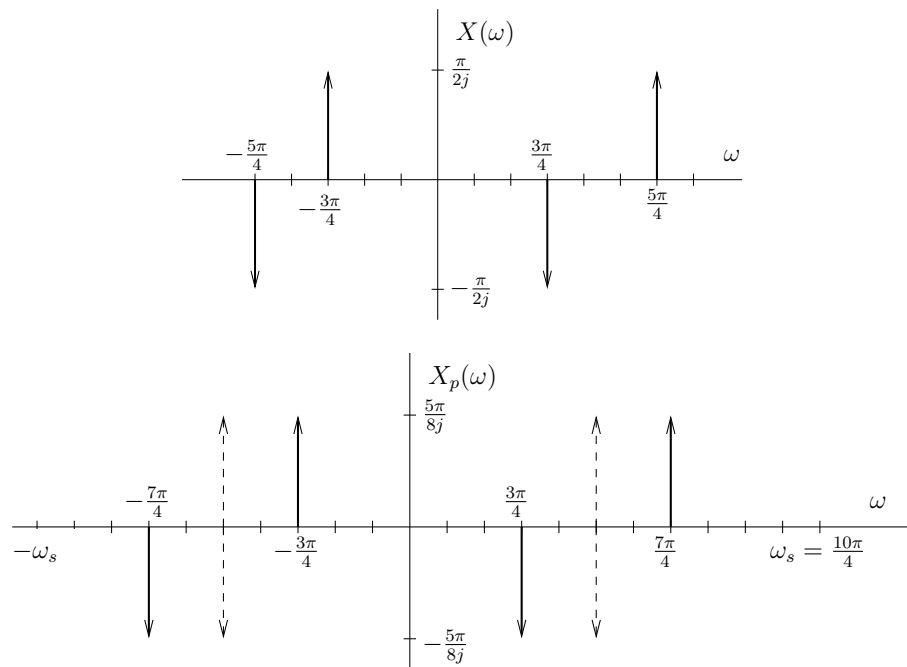
SOLUCIONES DE LA HOJA DE PROBLEMAS DE MUESTREO (V2.0)

1. $T \leq 10^{-3} \Rightarrow$ (a) y (c).
2. (a) $\omega_s = \omega_0$
 (b) $\omega_s = \omega_0$
 (c) $\omega_s = 2\omega_0$
 (d) $\omega_s = 3\omega_0$
3. (a) $T_{\max} = 0.5 \cdot 10^{-3}$
 (b) No es de banda limitada.
 (c) $T_{\max} = 1/3$
 (d) $T_{\max} = \pi$
 (e) $T < 1/5$
 (f) $T < 1/9$
 (g) $T < \pi/\omega_0$
 (h) $T < 4/21$
 (i) $T < 1/2$
4. Soluciones pendientes.
5. Soluciones pendientes.
6. (a) $X(\omega) = \pi \operatorname{sinc}\left(\frac{\omega+3}{3}\right) + \pi \operatorname{sinc}\left(\frac{\omega-3}{3}\right)$
 (b) No es limitada en banda, por lo que habrá aliasing.
 (c) Tal y como aparecen en las figuras siguientes:

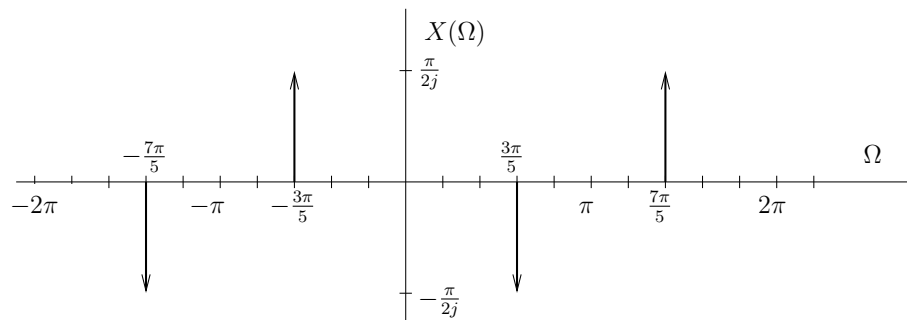


(d) $X(\Omega) = 6 \cos\left(\frac{9\pi}{10}\right) \cos(3\Omega) + 6 \cos\left(\frac{3\pi}{5}\right) \cos(2\Omega) + 6 \cos\left(\frac{3\pi}{10}\right) \cos(\Omega) + 3.$

7. (a) La señales $X(\omega)$ y $X_p(\omega)$:



(b) Al escalar el eje de frecuencias, obtenemos:



(c)

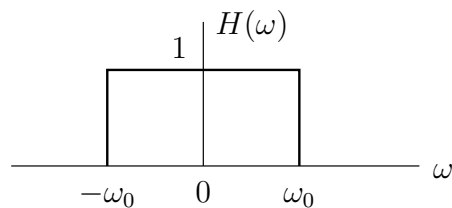
$$X_a(\omega) = \frac{\pi}{2j} [-\delta(\omega - 3\pi/4) + \delta(\omega + 3\pi/4)]$$

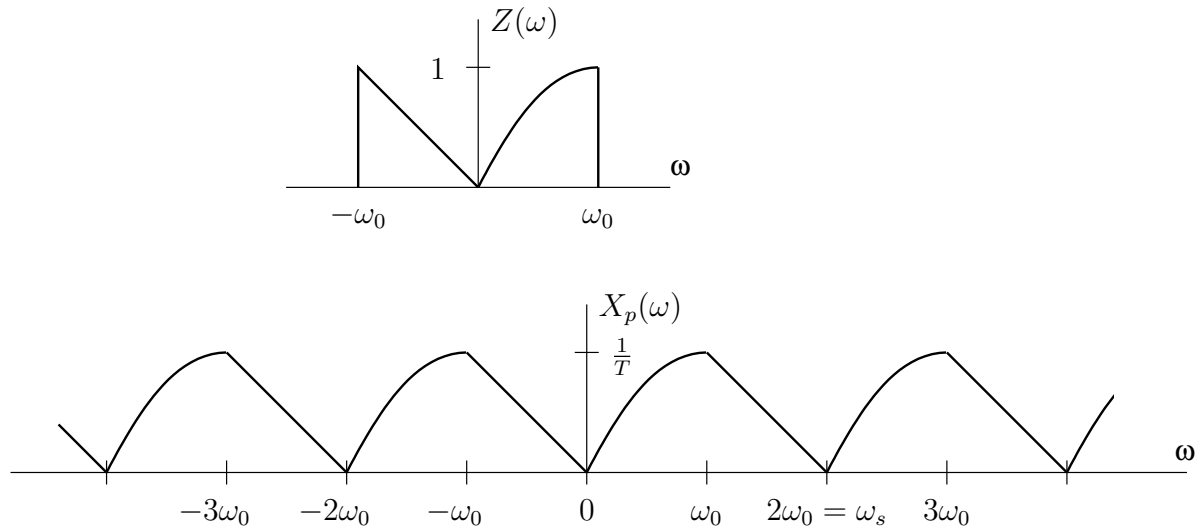
$$x_a(t) = -\frac{1}{2} \sin(3\pi/4 t).$$

(d)

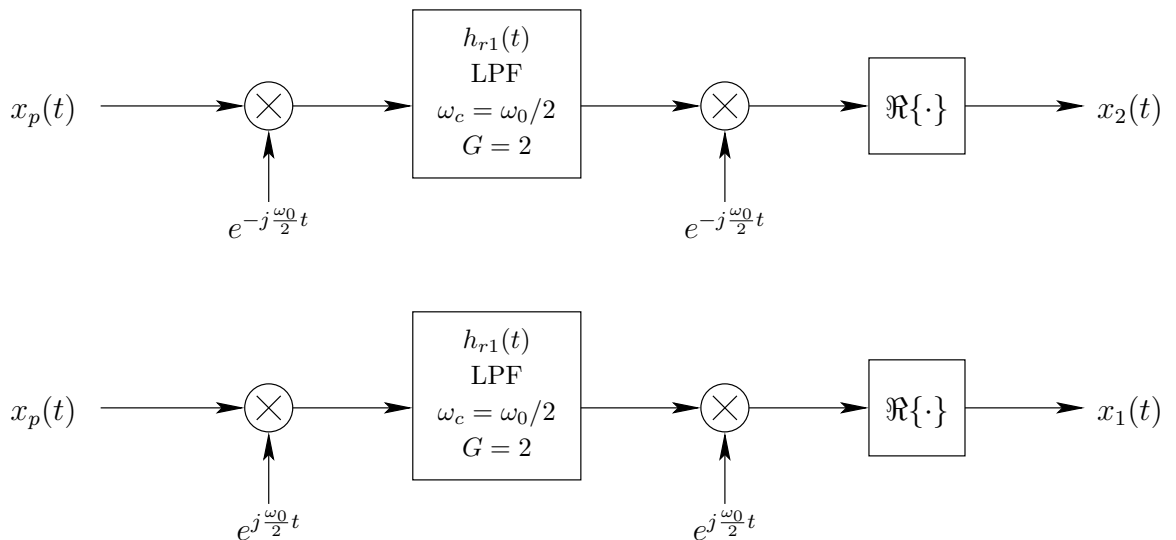
$$H_d(\Omega) = \frac{4}{4 + \left(\frac{\Omega}{2/3}\right)^2} \quad |\Omega| < \pi.$$

8. (a) $H(\omega)$, $Z(\omega)$ y $X_p(\omega)$ como se muestran en la figura:





(b) Los esquemas para recuperar $x_1(t)$ y $x_2(t)$ a partir de $x_p(t)$ se muestran en la figura:



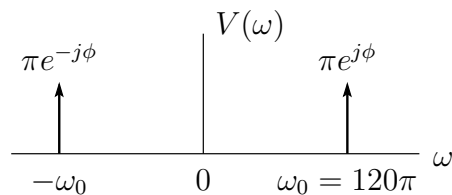
9. $y(t) = 0.1e^{j2000\pi t} + 2e^{j\pi/2}e^{-j6000\pi t}$.

10. (a) Pendiente.

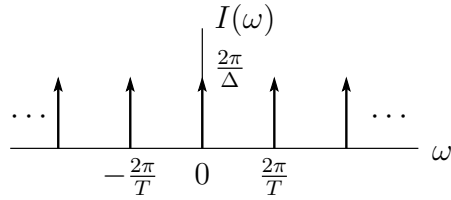
(b)

$$y(t) = \frac{\text{sen}[30\pi(t+1)]}{2\pi(t+1)} + \frac{\text{sen}[30\pi(t-1)]}{2\pi(t-1)} - \frac{\text{sen}[20\pi(t+1)]}{2\pi(t+1)} - \frac{\text{sen}[20\pi(t-1)]}{2\pi(t-1)}$$

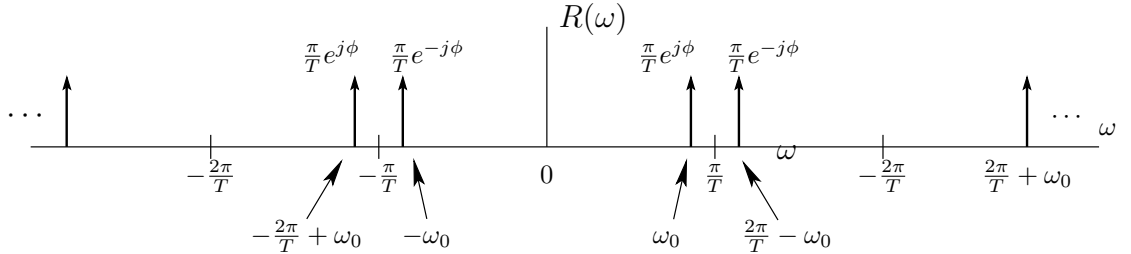
11. (a) $V(\omega)$ como se muestra en la figura:



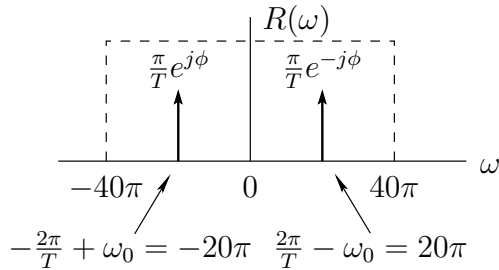
(b) $I(\omega)$ como se muestra en la figura:



(c) $R(\omega)$ como se muestra en la figura:

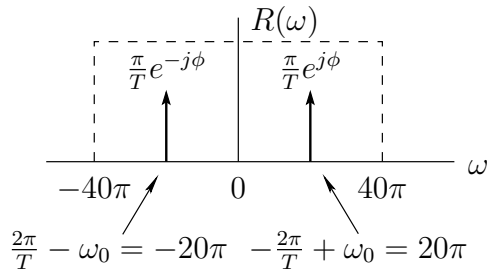


(d) $R(\omega)$ para $|\omega| < 40\pi$, como se muestra en la figura:



$v_a(t) = \frac{1}{T} \cos(20\pi t - \phi)$, es decir, $A_a = \frac{1}{T}$, $\omega_a = 20\pi$ y $\phi_a = -\phi$.

(e) $R(\omega)$ para $|\omega| < 40\pi$, como se muestra en la figura:



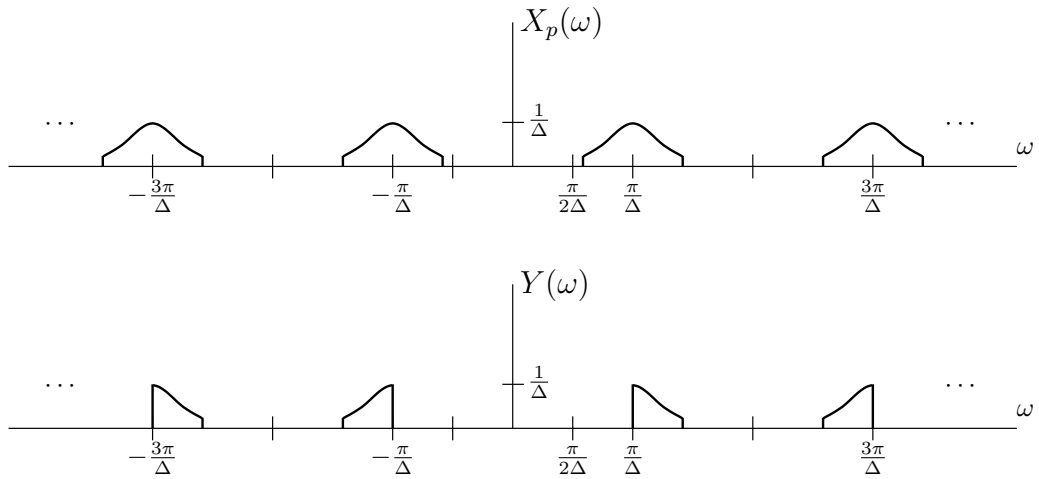
$v_a(t) = \frac{1}{T} \cos(20\pi t + \phi)$, es decir, $A_a = \frac{1}{T}$, $\omega_a = 20\pi$ y $\phi_a = \phi$.

12. El filtro de reconstrucción es un filtro paso bajo ideal con las siguientes características:

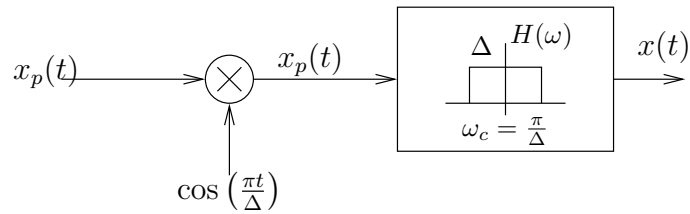
- La frecuencia de corte del filtro, ω_c , debe cumplir: $\frac{\omega_0}{2} \leq \omega_c \leq \frac{2\pi}{T} - \frac{\omega_0}{2}$. El mejor valor es $\omega_c = \frac{\pi}{T}$.
- Ganancia: T.
- Fase nula (la réplica en el origen no tiene desfase).

13. $T_{max} = \frac{\pi}{\omega_1 + \omega_2}$

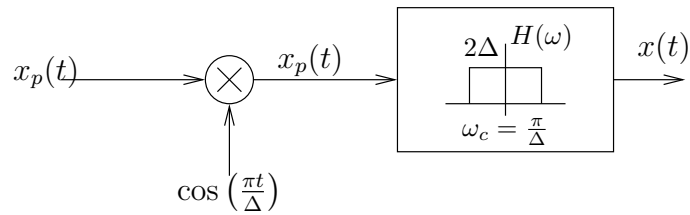
14. (a) $X_p(\omega)$ e $Y(\omega)$, como se muestran en la figura:



(b) El sistema como se muestra en la figura:



(c) El sistema como se muestra en la figura:



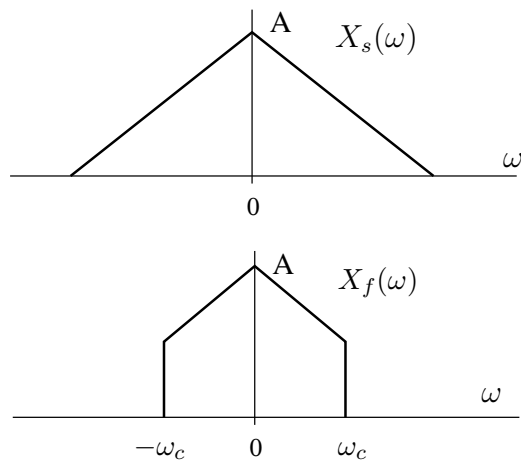
(d) $\Delta_{max} = \frac{\pi}{\omega_M}$

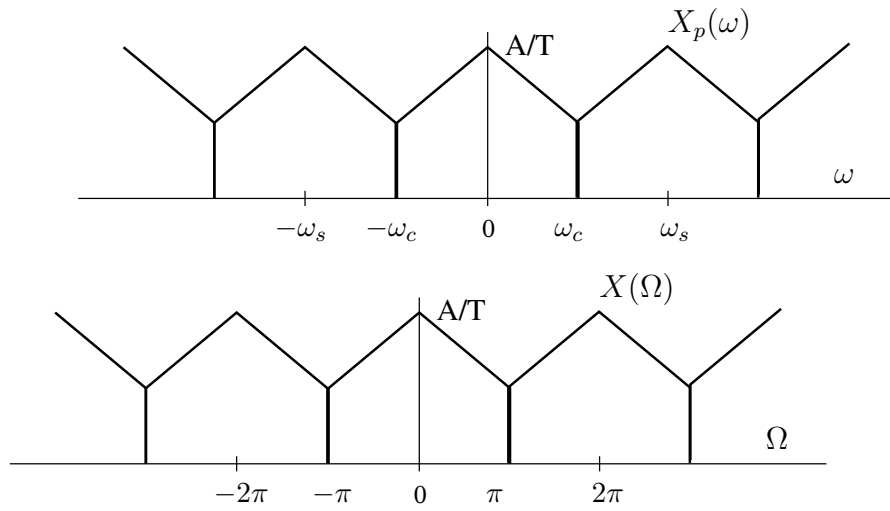
15. $T_{max} = \frac{\pi}{2B}$.

16. (a) No es invertible.

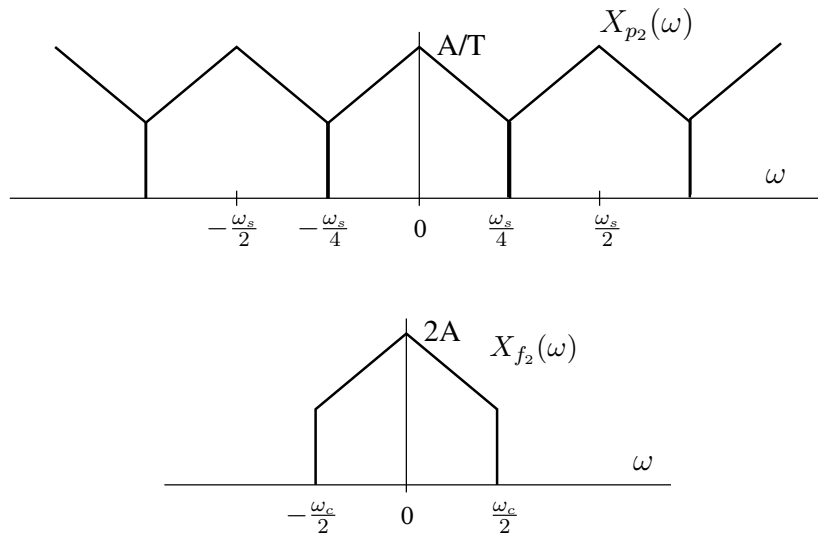
(b) Sí es invertible.

17. (a) Según las gráficas siguientes:





(b) $X_{p_2}(\Omega)$ y $X_{f_2}(\Omega)$



(c) $X_{f_2}(\omega) = 2X_f(\omega)$ y $x_{f_2}(t) = x_f(t/2)$.

18. (a) Pendiente.

(b) $y_c(t) = -\frac{1}{2} \text{sen} \left(3\pi t - \frac{3\pi}{10} \right)$.

(c) $H_c(\omega) = \begin{cases} e^{-j\omega/10}, & |\omega| \leq \frac{7\pi}{2}, \\ 0, & |\omega| > \frac{7\pi}{2}. \end{cases}$

$$h_c(t) = \frac{\text{sen} \left[\frac{7\pi}{2} \left(t - \frac{1}{10} \right) \right]}{\pi \left(t - \frac{1}{10} \right)} = \frac{7}{2} \text{sinc} \left[\frac{7}{2} \left(t - \frac{1}{10} \right) \right].$$

19.

$$x_p(t) = \frac{1}{W} \sum_{k=-\infty}^{\infty} x \left(t - k \frac{2\pi}{W} \right) = \frac{1}{2\pi} \sum_{k=-\infty}^{\infty} X(kW) e^{jkWt}.$$